

K- 891

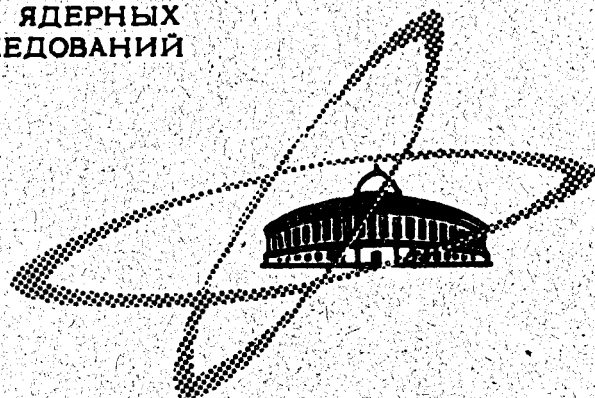
ОВЪЕДИНЕНИЙ
ИНСТИТУТ
ЯДЕРНЫХ
ИССЛЕДОВАНИЙ

Дубна.

7/IV-69

9ф, 1969, Г. 10 № 3, С. 577-584

P1 - 4336



А.А. Кузнецов, Н.Н. Мельникова, Т.В. Рыльцева,
Б.Чадраа, В.Балинт, А.Михул, Д.Мумуяну
Т.Понта, С.Фелеа

ЛАБОРАТОРИЯ ВЫСОКИХ ЭНЕРГИЙ

РОЖДЕНИЕ РЕЗОНАНСОВ В РЕАКЦИЯХ



ПРИ 4,0 ГЭВ/С

1969

P1 - 4336

2753/2 np.

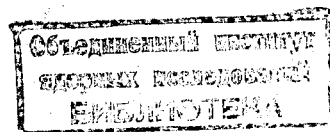
А.А.Кузнецов, Н.Н.Мельникова, Т.В.Рыльцева,
Б.Чадраа*, В.Балинт,** А.Михул**, Д.Мумуяну**,
Т.Понта**, С.Фелеа**

РОЖДЕНИЕ РЕЗОНАНСОВ В РЕАКЦИЯХ

$\pi^- p \rightarrow \pi^+ \pi^- \Lambda^0 K^0$ и $\pi^- p \rightarrow \pi^- \pi^0 \Lambda^0 K^+$
ПРИ 4,0 ГЭВ/С

Направлено в ЯФ

- * Институт атомной физики (г. Бухарест).
** Физический институт АН МНР (г. Улан-Батор)



Данная работа является продолжением цикла исследований^{1,2,3/}, которые посвящены изучению странных частиц в π^- -р взаимодействиях при 4,0 Гэв/с и выполнены на материале с 24-литровой пропановой пузырьковой камеры Лаборатории высоких энергий ОИЯИ. В работе приводятся данные о рождении резонансов в реакциях



и



Для анализа реакций (1) и (2) было использовано 230000 фотографий. Отбирались случаи неупругих взаимодействий π^- -мезонов на водороде, в которых наблюдался распад одной или двух ν^0 -частиц в рабочем объеме камеры. При отборе событий применялись критерии, которые были описаны ранее^{4/}. Средняя эффективность двукратного просмотра равнялась (96±3)%.

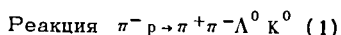
Измерения производились на полуавтоматах Лаборатории вычислительной техники и автоматизации ОИЯИ и Института атомной физики

x/ Кинематика распадов Λ^0 - и Σ^0 -гиперонов не позволяла в пределах точности измерений различать эти частицы, поэтому символ (Λ^0) относится к реакциям с рождением Λ^0 - и Σ^0 -гиперонов.

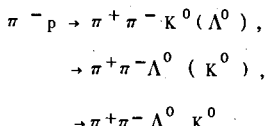
(г. Бухарест). Полученные данные обсчитывались по геометрической и кинематической программам /5,6,7/ на ЭВМ Лаборатории вычислительной техники и автоматизации.

Методика идентификации V^0 -частиц и выделения каналов реакций была описана ранее /1,2/. При анализе событий дополнительно привлекались результаты ионизационных измерений на следах вторичных заряженных частиц звезд и V^0 -событий /8/, а также учитывалась картина распадов останавливающихся частиц в камере.

В таблице приведены суммарные данные о числе событий, относящихся к соответствующим каналам реакции ^{x)}. В связи с ограниченными размерами камеры каждому событию приписывался вес, который вычислялся методом моделирования с помощью программы 671 /9/. Ниже во всех распределениях события приводятся с соответствующими весами.



События, относящиеся к реакции (1), выделялись при анализе каналов реакции вида



На основании полного числа событий этого типа было определено сечение реакции (1). Оно оказалось равным $\sigma(1) = 154 + 14 \text{ мкб}$. При определении сечения вводились поправки на примесь других частиц в пучке (8%), на примесь событий взаимодействий π^- -мезонов на связанным протоне (19%), на нейтральные моды распада Λ^0 и K^0 , на эффективность просмотра и на потерю событий в связи с ограниченными размерами камеры /1/.

Для изучения рождения резонансов в реакции (1) были построены распределения эффективных масс различных комбинаций частиц (см. рис.1).

^{x)}События, которые нельзя было однозначно идентифицировать, были включены в статистику как для реакции (1), так и для реакции (2) с весом 1/2.

Распределение $\Lambda^0 \pi^+$ -комбинаций указывает на рождение резонанса Y_{1385}^{*+} (рис. 1а). Сравнение экспериментального распределения с линейной комбинацией фазового пространства и брайт-вигнеровской кривой для резонанса Y_{1385}^{*+} дает вклад Y_{1385}^{*+} в этот процесс, равный $(8,9 \pm 3)\%$, что соответствует сечению реакции

$$\pi^- p \rightarrow Y_{1385}^{*+} K^0 \pi^-, \quad (3)$$

$$\sigma(3) = (15,3 \pm 4,7) \text{ мкб.}$$

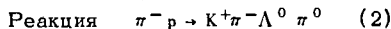
Исходя из распределений эффективных масс $(\Lambda^0 \pi^-)$ комбинаций (рис. 1б) получаем для сечения реакции $\pi^- p \rightarrow Y_{1385}^{*-} K^0 \pi^+ \quad (4)$ значение $\sigma(4) = (11,4 \pm 3,8) \text{ мкб.}$

На рис. 1г приведено распределение эффективных масс $K^0 \pi^+$ -комбинаций. Анализ этого распределения показал, что сечение реакции с рождением K_{890}^{*+} - мезона $\pi^- p \rightarrow K_{890}^{*+} \Lambda^0 \pi^- \quad (5)$ равно

$$\sigma(5) = (12,9 \pm 4,2) \text{ мкб.}$$

Распределения эффективных масс для $K^0 \pi^-$ и $\pi^+ \pi^-$ -комбинаций (рис. 1в) не показывают каких-либо аномалий и хорошо описываются фазовыми кривыми. Верхняя граница сечения рождения ρ -мезона (6) соответствует

$$\rho(6) = (1,2 \pm 3,5) \text{ мкб } [\pi^- p \rightarrow \Lambda^0 K^0 \rho^0]. \quad (5)$$



Анализ событий, принадлежащих реакции (2), указывает на сильное рождение резонанса K_{890}^{*0} в этом процессе. На рис. 2а приведено экспериментальное распределение эффективных масс $K^+ \pi^-$ -комбинаций.

Сравнение экспериментальных данных с комбинацией брайт-вигнеровской и фазовых кривых дает величину сечения процесса $\pi^- p \rightarrow K_{890}^{*0} \Lambda^0 \pi^0$ (7), равную (34.5 ± 5.9) мкб.

На рис. 3 приведена зависимость дифференциального сечения реакции (7) от квадрата четырехмерного переданного импульса $\Delta_{\pi(K\pi)}^{(2)} - t$. Видно, что для событий этой реакции, взятых из интервала эффективных масс $K^+ \pi^-$ -комбинаций $0.83 \leq M_{K^+ \pi^-} \leq 0.93$ Гэв характерно распределение, при котором $|t| < 1.0$ ($\text{Гэв}/c$)², т.е. процесс образования K_{890}^{*0} носит периферический характер.

Анализ спектра эффективных масс $K^+ \pi^0$ -комбинаций (рис. 2б) дает величину $\sigma = (3.4 \pm 4.2)$ мкб для процесса $\pi^- p \rightarrow K_{890}^{*+} \Lambda^0 \pi^-$ (8).

Рассмотрение каналов реакций с рождением гиперонных резонансов Y_{1385}^{*0} и Y_{1385}^{*-} в реакции (2) указывает на малые сечения образования этих резонансов, а именно: (5.0 ± 3.5) мкб для процесса $\pi^- p \rightarrow Y_{1385}^{*0}, K^+ \pi^-$ (9) и (5.4 ± 3.6) мкб для реакции $\pi^- p \rightarrow Y_{1385}^{*-}, K^+ \pi^0$ (10) (см. рис. 2в, г.).

Характерной особенностью рассмотренных выше процессов является периферическое рождение резонансов при этой энергии, как это наблюдалось для конечных состояний $\pi^- p$ взаимодействий без странных частиц. Кроме этого, интересно отметить, что в реакциях (1) и (2), в основном, реализуются только низковозбужденные состояния гиперона (Y_{1385}^{*0}) и K -резона (K_{890}^{*0}) и нет указаний на рождение состояний с большим возбуждением.

На рис. 4 (а, б, в, г, д, е, ж) приведены данные по сечениям процессов образования Y_{1385}^{*0} и K_{890}^{*0} -резонансов в $\pi^- p$ взаимодействиях в зависимости от импульса налетающей частицы. Эти результаты взяты из ранее опубликованных работ /10, 11/ и из настоящей работы. Представленные на рис. 4 кривые получены с помощью метода наименьших квадратов. Из рис. 4 следует, что для всех указанных выше процессов (3-10) наблюдается характерная зависимость сечений от величины первичного импульса пионов: от порога реакции сечение быстро растет, затем достигает максимума в области импульсов от 3,2 до 3,3 Гэв/с и далее падает с увеличением импульса. Такое поведение сечений приводит к следующим выводам:

1) Для всех рассмотренных выше процессов уже при импульсе 4,0 Гэв/с наблюдается уменьшение сечений образования Υ_{1385}^* и K_{890}^* -резонансов. Возможным объяснением такого поведения сечения может быть увеличение вклада каналов реакций с большим числом частиц в конечном состоянии или увеличение вклада реакций с большими возбуждениями бариона.

2) Для всех процессов (3+10) наблюдается максимум в ходе сечений в области первичных импульсов от 3,2 до 3,3 Гэв/с. Этот факт, если он подтвердится новыми данными в этом интервале импульсов^{x/}, может быть объяснено существованием нуклонной изобары с массой, равной 2650 Мэв. Известно, что в этой области масс наблюдалась нуклонная изобара $N_{\frac{1}{2}}^*(2650)$ с $\Gamma = 380 \text{ Мэв}^{1/2}$. Возможно, что наблюдаемый максимум в ходе сечений процессов (3+10) связан с образованием этой изобары.

Квазидвухчастичные процессы в реакциях (1) и (2)

Нами был оценен также вклад квазидвухчастичных процессов в реакциях (1) и (2). Оценки показали, что сечение реакции $\pi^- p \rightarrow \Upsilon_{1385}^* K_{890}^{*+}$ (11) составляет $(4,6 \pm 3,1)$ мкб, а процесс $\pi^- p \rightarrow \Upsilon_{1385}^* K_{890}^{*0}$ (12) идет с сечением, равным $(4,1 \pm 3,7)$ мкб.

Сравнение этих данных с результатами работ при других энергиях (см. рис. 6 а, б) указывает на то, что сечения квазидвухчастичных процессов падают с увеличением первичной энергии π^- -мезона.

$\Lambda^0 K^{+0}$ - системы

Изучение спектра эффективных масс $\Lambda^0 K^-$ и $\Lambda^0 K^+$ -комбинаций в реакциях (1) и (2) показало, что характерной чертой этих спектров

^{x/} В настоящее время пока нет данных о сечениях процессов с образованием Υ_{1385}^* и K_{890}^* в реакциях (1) и (2) в области первичных импульсов от 3,2 до 3,8 Гэв/с.

является концентрация событий в области эффективных масс 1650 ± 1910 Мэв (рис. 7 а, б).

На рис. 7 в приведено суммарное распределение эффективных масс $\Lambda^0 K^0$ - и $\Lambda^0 K^+$ - комбинаций, в котором наблюдаются пики в районе масс ≈ 1700 Мэв и ≈ 1850 Мэв. Для исключения влияния известных резонансов Y_{1385}^* и K_{890}^* , наблюдавшихся в реакциях (1) и (2), здесь же приведены спектры эффективных масс $\Lambda^0 K^0$ - комбинаций без событий, лежащих в области масс резонансов Y_{1385}^* и K_{890}^* (см. заштрихованные гистограммы). Можно видеть, что пик в области ≈ 1700 Мэв не связан с их рождением.

Предполагая, что наблюдаемое в эксперименте отклонение от фазовой кривой обусловлено рождением (ΛK) -резонанса с массой 1710 Мэв, можно описать полученное экспериментальное распределение комбинаций фазового пространства и резонансом в брайт-вигнеровской форме с массой $M = 1710$ Мэв и $\Gamma = 220$ Мэв ($\chi^2 = 17$, $n = 21$). Полученная аппроксимация дает для сечения рождения (ΛK) -резонанса в реакциях (1) и (2) величину $(32,2 \pm 7,7)$ мкб. Так как указанный эффект наблюдался в спектрах эффективных масс $\Lambda^0 K^0$ - и $\Lambda^0 K^+$ - комбинаций, изоспин этого состояния равен $1/2$ и его можно отождествить с одной из нуклонных изobar, например, $N_{1/2}^*(1710)$. В пользу такого объяснения можно привести следующие данные: в работе^{13/}, где рассматривается энергетический ход сечения реакции $\pi^- p \rightarrow \Lambda^0 K^0$, наблюдался пик при $E_\pi \approx 1070$ Мэв. Проведенный фазовый анализ этой реакции^{14/} показал, что наибольший вклад в этот процесс вносит нуклонная изобара $N_{1/2}^*(1710)(S_{11})$. Эти соображения и экспериментальное отклонение от фазовой кривой в этой области масс в спектрах ΛK -комбинаций являются указанием на возможную моду распада этого возбужденного состояния нуклона, связанную с ΛK -системой. Оценки показали, что отношение моды распада $N_{1/2}^*(1710)$ на (ΛK) -систему ко всем возможным неупругим модам распада составляет величину $\approx 1,1\%$.

На рис. 8 приведено распределение квадрата четырехмерного переданного импульса $\Delta_p^2 \rightarrow (\Lambda K)$ для событий, лежащих в области эффективных масс ΛK - комбинаций $1600 \leq M_{\Lambda K} \leq 1790$ Мэв.

Видно, что в основном события из этого интервала эффективных масс характеризуются переданными импульсами $\Delta^2 \leq 0,8$ ($\text{Гэв}/\text{с}^2$).

В ряде экспериментальных работ были указания на существование резонанса в ΛK -системе с массой ≈ 1700 Мэв и шириной $100+220$ Мэв. Так, в работе ^{/15/} наблюдалась резонансы в области 1700 и 1800 Мэв в спектре масс $\Lambda^0 K^0$ - и $\Lambda^0 K^+$ -комбинаций. При изучении странных частиц в $\pi^- p$ взаимодействиях при $7,91$ Гэв/с авторы наблюдали резонанс в $\Lambda^0 K^0$ - и $\Lambda^0 K^+$ -системах, который они связывали с нуклонной изобарой $N^*(1688)$. В работе ^{/16/} при импульсе π^- -мезона 6 Гэв/с также наблюдался $\Lambda^0 K^+$ -резонанс в 3-частичных конечных состояниях с малыми переданными импульсами. Авторы интерпретировали его как нуклонную изобару $N^*(1688)$; однако не исключалась возможность интерпретации этого резонанса как $N_{1/2}^*(1710)$. В работе ^{/17/} есть указания на резонанс в $(\Lambda^0 K^{+0})$ -системах в $\pi^+ p$ взаимодействиях при $8,0$ Гэв/с. Авторы считают, что эти резонансы можно объяснить распадом нуклонной изобары $N^*(1755)$ с $\Gamma = 220$ Мэв. В статье ^{/11/} при импульсе $\pi^- 1,54+4,2$ Гэв/с нет указаний на существование нуклонных изobar, связанных с (ΛK) -системой.

Таким образом, в настоящее время вопрос о существовании (ΛK) -резонанса с массой ≈ 1700 Мэв и его интерпретации не решен и требуются дальнейшие исследования.

В заключение авторы выражают признательность сотрудникам Лаборатории высоких энергий М.И.Подгорецкому, Ю.А.Трояну и Э.Г.Бубелеву за полезные обсуждения. Авторы также благодарят лаборантов группы за помощь в работе.

Л и т е р а т у р а

1. Б.П.Банник, Ким Хи Ин, А.А.Кузнецов и др. Препринт ОИЯИ, 1-3682, Дубна, 1968.
2. М.Р.Атаян, К.Карамян, А.А.Кузнецов и др. Препринт ОИЯИ, 1-3778, Дубна, 1968.
3. А.А.Кузнецов, Н.Н.Мельникова, Б.Чадраа и др. Препринт ОИЯИ, Р1-4049, Дубна, 1968.

4. Б.П.Банник, А.А.Кузнецов, Н.Н.Мельникова и др. Препринт ОИЯИ, 1-3096, Дубна, 1966.
5. О.В.Благонравова, З.М.Иванченко, А.Ф.Лукъянцев и др. Препринт ОИЯИ, 2005, Дубна, 1965.
6. О.В.Благонравова, Л.И.Лепилова, А.Ф.Лукъянцев и др. Препринт ОИЯИ, 1958, Дубна, 1965.
7. З.М.Иванченко, А.Ф.Лукъянцев, В.И.Мороз и др. Препринт ОИЯИ, Р-2399, Дубна, 1967.
8. Б.П.Банник, Ким Хи Ин, А.А.Кузнецов и др. Препринт ОИЯИ, 2617, Дубна, 1968.
9. В.Ф.Вишневский, Ду Юань-цай, Г.И.Копылов и др. Препринт ОИЯИ, Р-1480, Дубна, 1964; Б.А.Шахбазян. Вопросы физики элементарных частиц, т. IV, г.Ереван, 1964.
10. D.H.Miller, A.Z.Kovaes, R.L.Mcllwain et al. Phys. Rev., 140, B.360 (1965).
11. O.I.Dahl, M.Hardy, R.I.Hess et al. Preprint UCRL - 16978, 1967.
12. N.Barash-Schmidt, A.Barbaro-Galtieri, L.R.Price et al. Review of Particle Properties. UCRL - 8030, 1968.
13. O.Goussu, M.Sene, B.Chidine et al. Nuovo Cim., 42, 606 (1966).
14. S.R.Deans, W.G.Holladay, I.E.Rush. XIV Intern. Conf. on High Energy Physics, p.144, Vienna, 1968;
C.Lovelace, F.Wagner, J.Piopoluos. IV Intern. Conf. on High Energy Physics, p. 469, Vienna, 1968.
15. Б.П.Банник, Э.Г.Бубелев, Ким Хи Ин и др. XII Международная конференция по физике высоких энергий, стр. 682, Дубна, 1964.
16. R.Ehrlich, W.Selove, H.Yuta. Phys. Rev., 152, 1194, 1966;
D.I.Crenell, K.W.Lai, J.M.Scarr et al. Phys. Rev. Lett., 19, 1212 (1967).
17. M.Alderholz, I.Bartsch, R.Schulte et al. XIV Intern. Conf. on High Energy Physics, p.144, Vienna, 1968.

Рукопись поступила в издательский отдел
26 февраля 1969 года.

Таблица

Реакция	$N_{набл.}$	$N_{поправкой}$
$\pi^+ \pi^- \Lambda^0 K^0$	198	297
$K^+ \pi^- \Lambda^0 \pi^0$	102	154
Неразделенные $\pi^+ \pi^- \Lambda^0 (K^0)$ $K^+ \pi^- \Lambda^0 (\pi^0)$	35	53

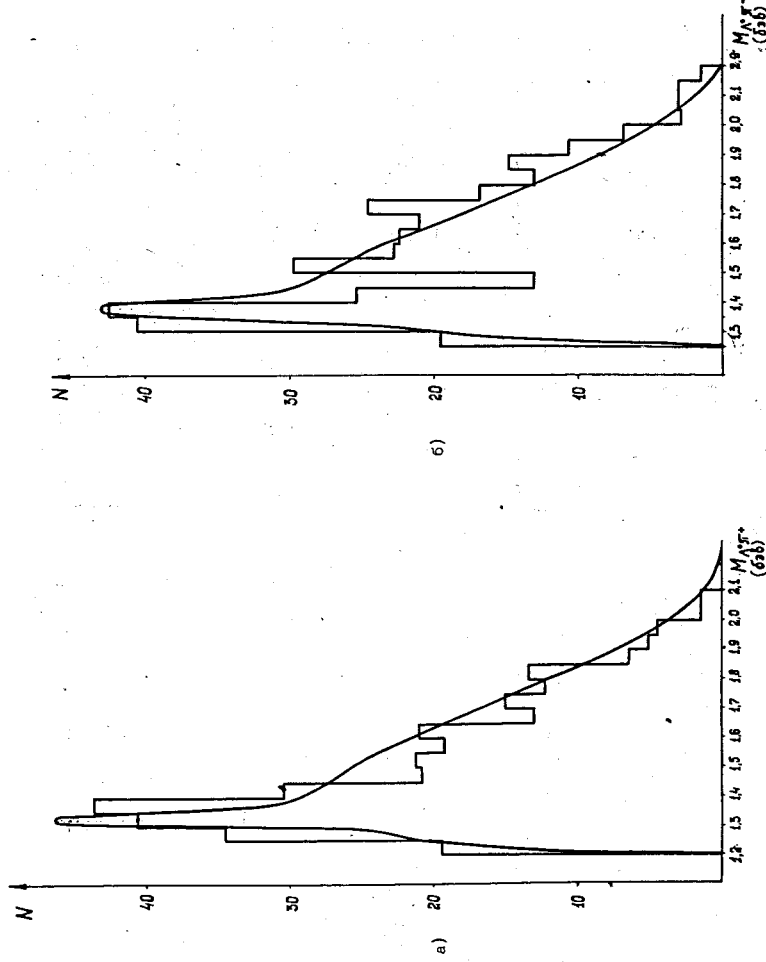
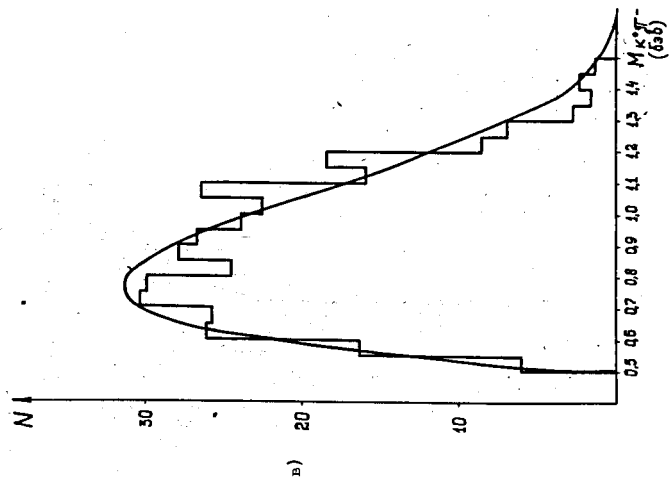
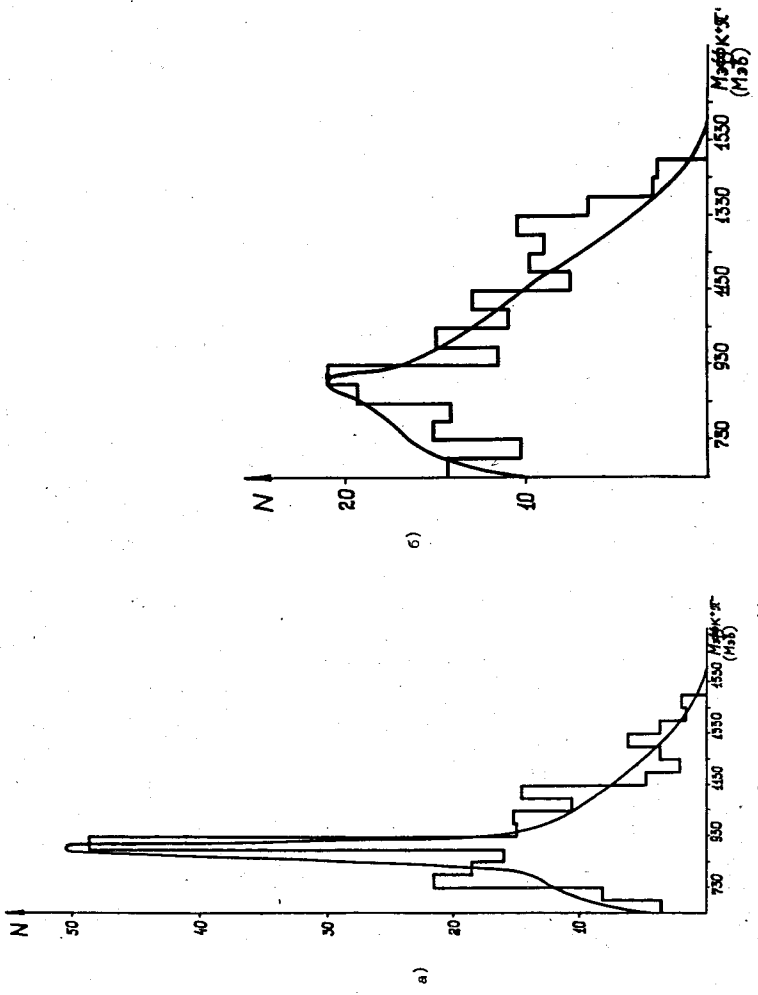


Рис. 1. Распределение эффективных масс различных комбинаций частиц в реакции $\pi^- p \rightarrow \pi^+ \pi^- \Lambda_0 K^0$: а) гистограмма $\Lambda_0 \pi^+$ – комбинация Y^* , 8,9% резонанса; б) гистограмма $\Lambda^0 \pi^-$ – комбинация $\Lambda^0 \pi^-$, 91,1% фона; б) гистограмма $K^0 \pi^-$ – комбинация $K^0 \pi^-$, 7,4% резонанса Y^*_{1385} и 92,6% фона;



13

Рис. 1. Распределение эффективных масс различных комбинаций частиц в реакции $\pi^- p \rightarrow \pi^- \Lambda^0_0$: а) гистограмма $K^0 \pi^-$ — комбинации; на рисунке приведена фазовая кривая; б) гистограмма $K^0 \pi^+$ — комбинации; кривая — комбинация 8,4% резонанса K^{*+}_{890} и 91,6% фона.



14

Рис. 2. Распределение эффективных масс различных комбинаций частиц в реакции $\pi^- p \rightarrow K^+ \pi^- \Lambda^0 \pi^0$: а) гистограмма $K^+ \pi^-$ -комбинаций, кривая – комбинация 35,2% резонанса K_{390}^{+} и 64,8% фона; б) гистограмма $K^+ \pi^0$ -комбинаций; кривая – комбинация 3,6% резонанса K_{890}^+ и 96,5% фона;

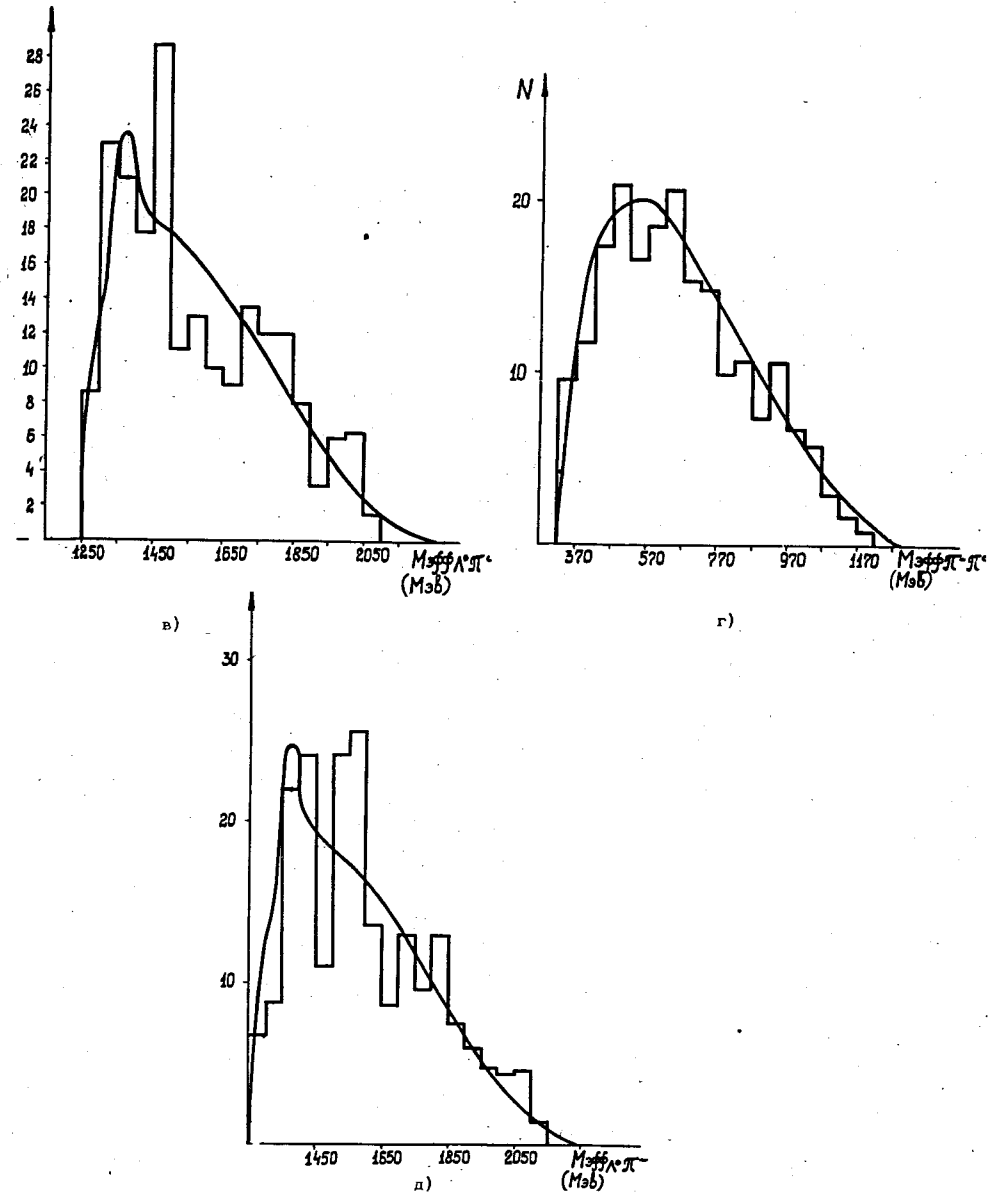


Рис. 2. Распределение эффективных масс различных комбинаций частиц в реакции $\pi^- p \rightarrow K^+ \pi^- \Lambda^0 \pi^0$: в) гистограмма $\Lambda^0 \pi^0$ -комбинаций; кривая – комбинация 5,1% резонанса Y_{1885}^0 и 94,9% фона; г) гистограмма $\Lambda^0 \pi^-$ -комбинаций; кривая – комбинация 5,5% резонанса Y_{1885}^{*0} и 94,5% фона; д) гистограмма $\pi^0 \pi^-$ -комбинаций вместе с фазовой кривой.

15

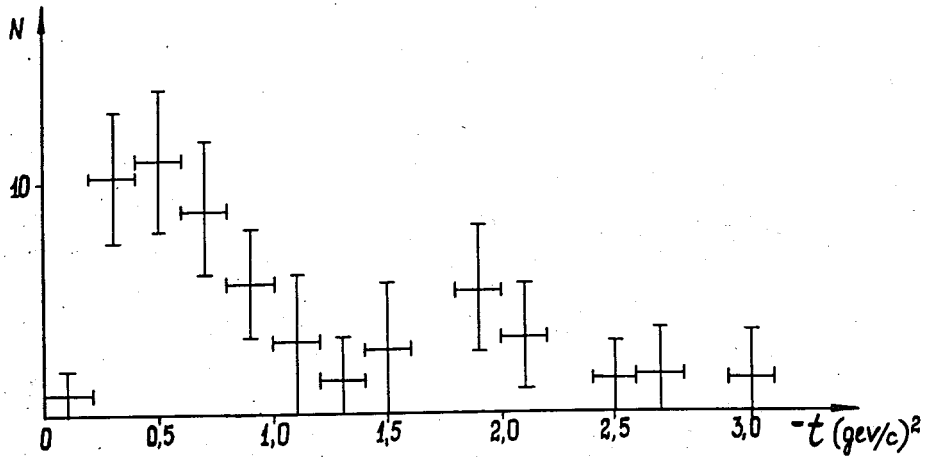


Рис. 3. Распределение дифференциального сечения реакции $\pi^- p \rightarrow K_{890}^{*0} \Lambda^0 \pi^0$ в зависимости от квадрата четырехмерного переданного импульса $\Delta_{1K_{890}^*}^2$ (в произвольных единицах).

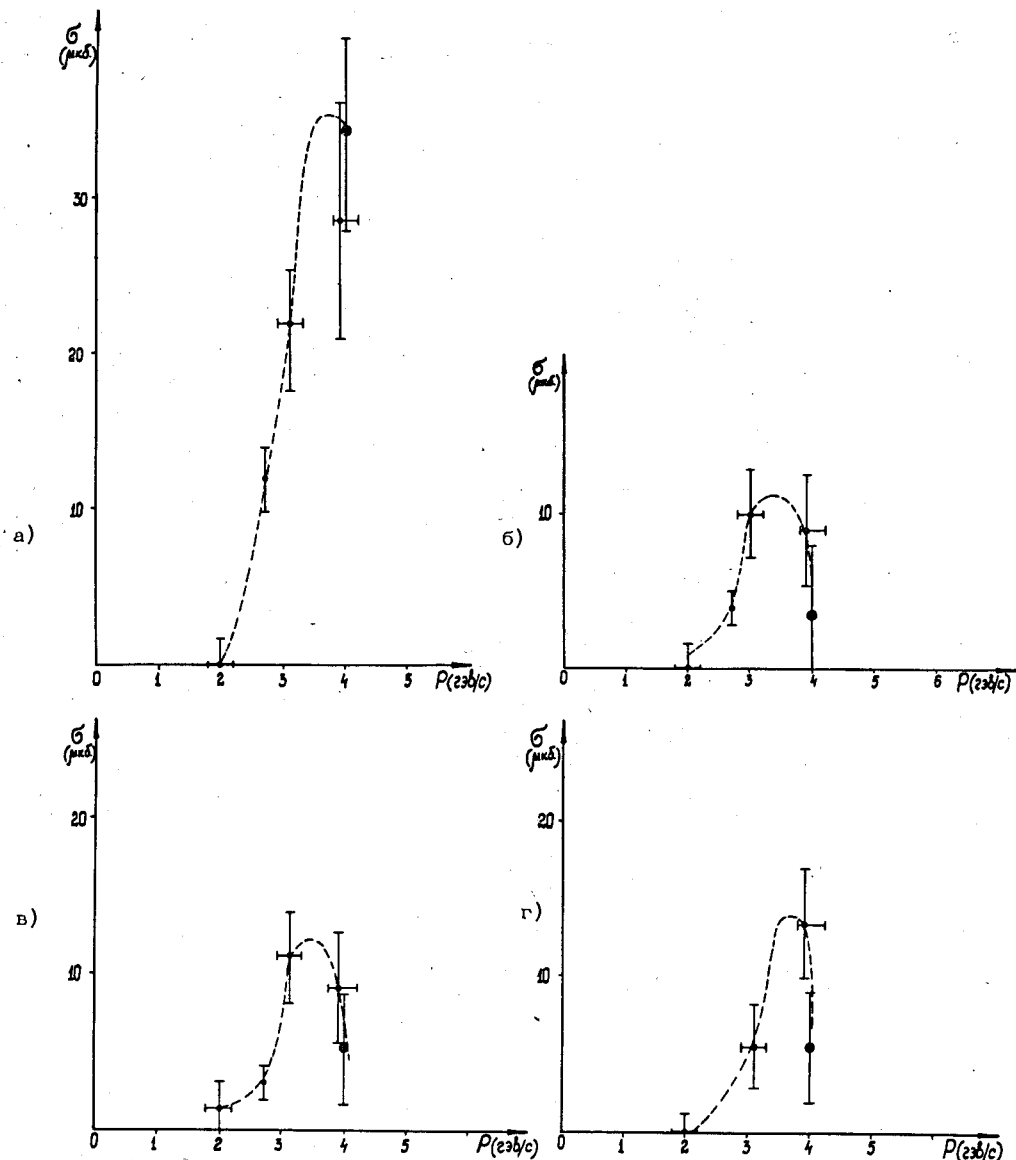
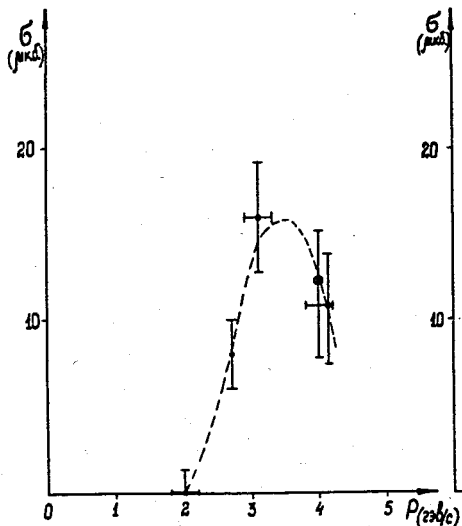
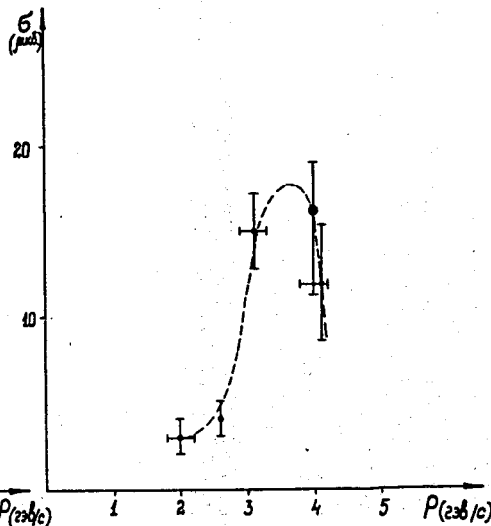


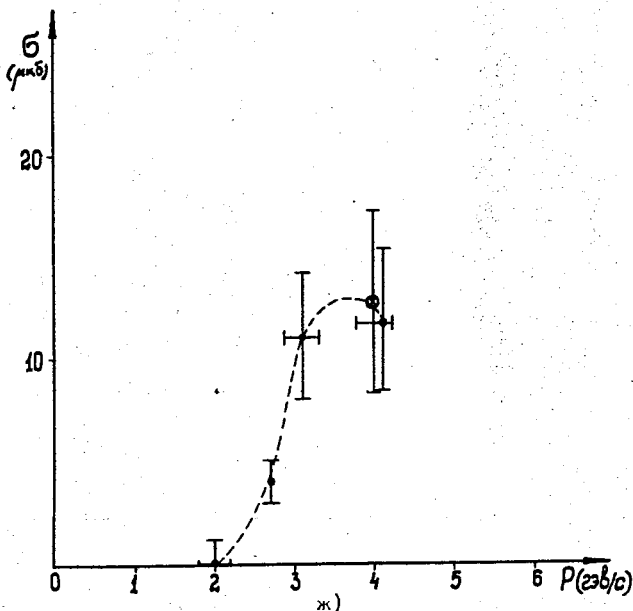
Рис. 4. Зависимость сечений рождения резонансов с участием странных частиц от первичного импульса для процессов: а) $\pi^- p \rightarrow K_{890}^{*0} \Lambda^0 \pi^0$; б) $\pi^- p \rightarrow K_{890}^{*0} \Lambda^0 \pi^-$; в) $\pi^- p \rightarrow Y_{1385}^{*0} K^+ \pi^-$; г) $\pi^- p \rightarrow Y_{1385}^{*0} K^+ \pi^0$;



д)



е)



ж)

Рис. 4. Зависимость сечений рождения резонансов с участием странных частиц от первичного импульса для процессов:

д) $\pi^- p \rightarrow Y_{1385}^{*-} K^0 \pi^+$; е) $\pi^- p \rightarrow Y^{**} K^0 \pi^-$; ж) $\pi^- p \rightarrow K^* \Lambda^0 \pi^-$.

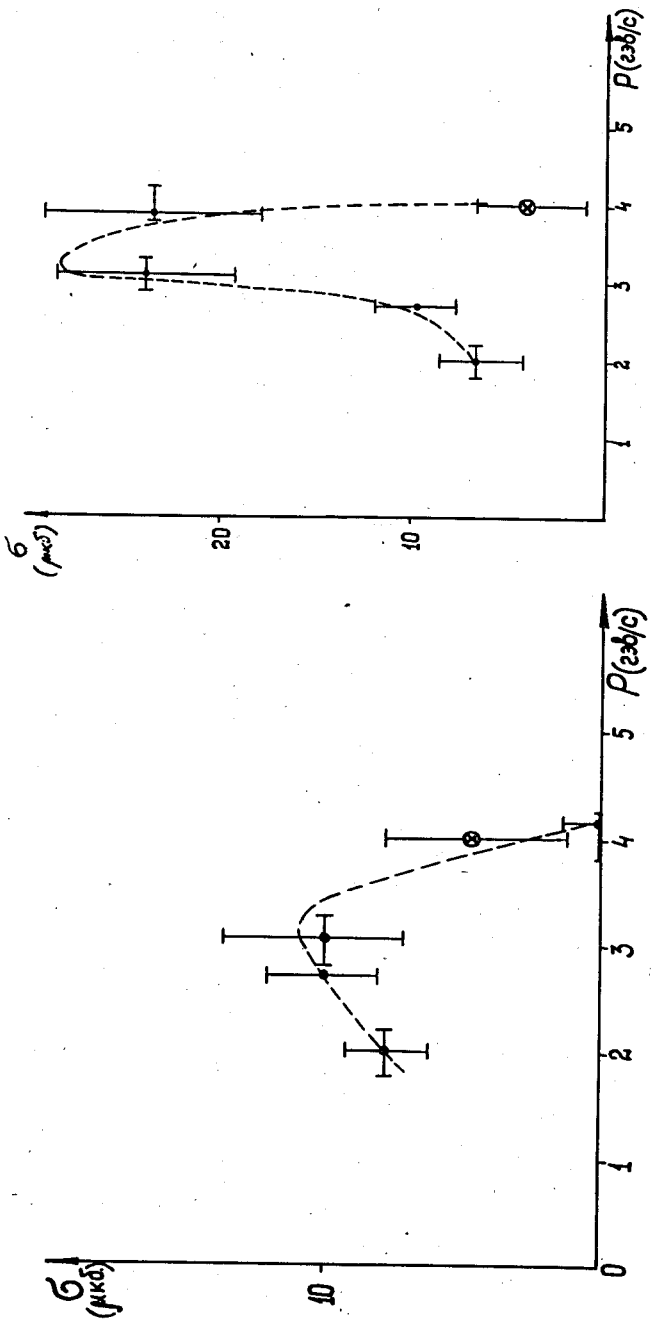
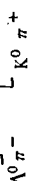
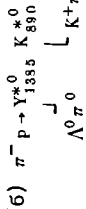


Рис. 5. Зависимость сечений квазидвухчастичных процессов от первичного импульса для реакций: а) $\pi^- p \rightarrow Y_{1385}^{*-} K_{890}^{*+}$
б) $\Lambda^0 \pi^- \rightarrow Y_{1385}^{*0} K_{890}^{*0}$



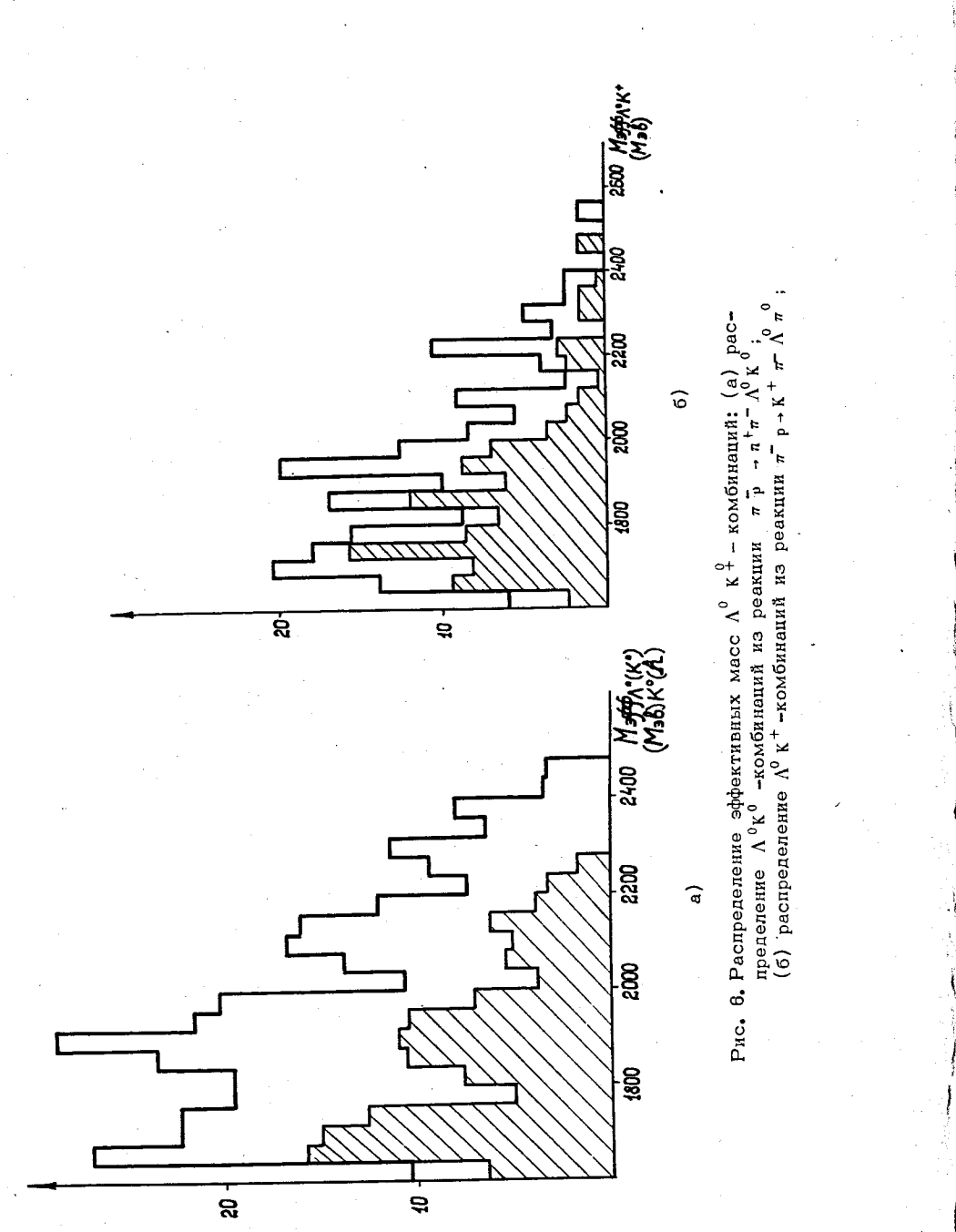


Рис. 6. Распределение эффективных масс $\Lambda^0 K^0$ -комбинаций: (а) распределение $\Lambda^0 K^0$ -комбинаций из реакции $\pi^- p \rightarrow \pi^- \Lambda^0 K^0$; (б) распределение $\Lambda^0 K^+$ -комбинаций из реакции $\pi^- p \rightarrow K^+ \pi^- \Lambda^0 \pi^0$;

б)

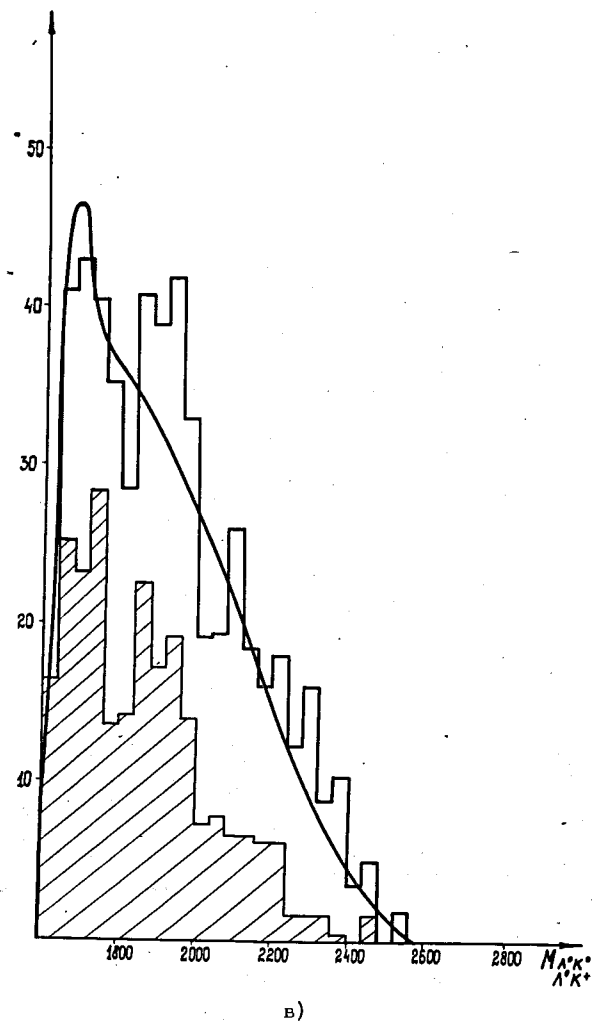


Рис. 6. Распределение эффективных масс $\Lambda^0 K^0$ -комбинаций:
 (в) суммарное распределение $\Lambda^0 K^0$ - и $\Lambda^0 K^+$ -комбинаций;
 кривая — комбинация 12,8% резонанса $N_{1/2}^*(1710)$ и 87,2% фона.
 Заштрихованные гистограммы распределения $\Lambda^0 K^0$ -комбинаций
 без событий, находящихся в области резонансов K_{890}^* и Y_{1385}^* .

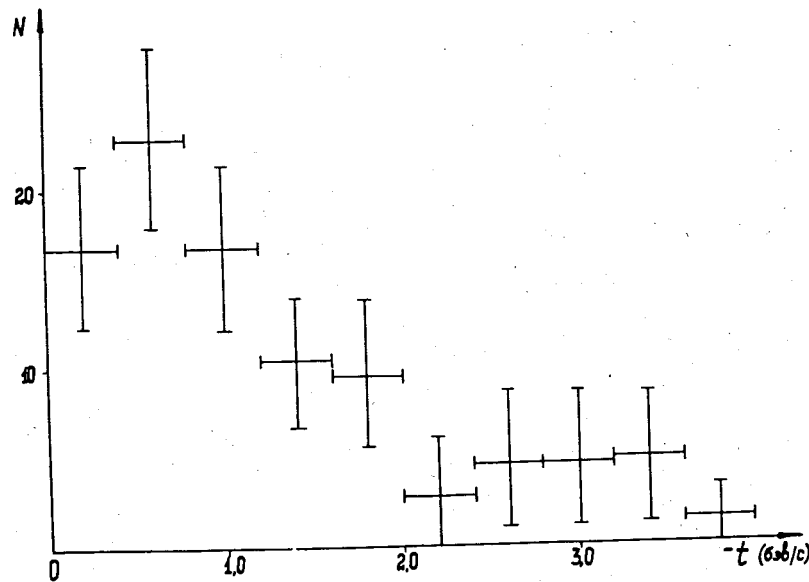


Рис. 7. Распределение дифференциального сечения рождения (Λ К)-резонанса в зависимости от квадрата четырехмерного переданного импульса $\Delta_p^2(\Lambda\text{K})$ (в произвольных единицах).